

## BHR Metamateryal Lens Tasarımı

Bilal TÜTÜNCÜ<sup>1\*</sup>Bülent URUL<sup>2</sup>

**ÖZET:** Bu çalışmada Ku band mikroşerit yama anten yönlendirici kazanç iyileştirmesi için Bölünmüş Halka Rezonatör (BHR) metamateryal (MM) lens kullanımı gösterildi. Ku bandında odaklılama elde edebilmek için aynı bantta negatif kırılma indisli bir BHR metamateryal lens tasarlanıp referans antenin ışına doğrultusunda yarınlalı boyu uzaklığuna yerleştirilerek benzetim ve ölçüm sonuçları ayrı ayrı elde edildi. Bu şekilde referans antenin yönlendirici kazancında ölçüm sonuçlarına göre 1.52 dBi'lik bir artış olduğu tespit edildi. Bu çalışmada, alt tabaka ve üst tabaka için aynı dielektrik malzemeler kullanılmış ve böylece MM lens tabakasının kazanç artırımına yararlı etkisi daha net olarak gösterilmiştir. Ayrıca düşük anten boyutu için MM lens katmanının toplam boyutu, referans antenin yama boyutuyla hemen hemen aynıdır. Bu çalışmayı literatürdeki benzer diğer çalışmalarдан avantajlı kılan bir diğer husus, daha az sayıda metamateryal birim hücreden oluşan lens katmanı kullanılmasıdır.

**Anahtar Kelimeler:** Metamateryal, BHR, Mikroşerit anten, Anten yönlendirici kazancı

## SRR Metamaterial Lens Design

**ABSTRACT:** In this study, the use of Split Ring Resonator SRR metamaterial (MM) lens for Ku band micro-strip patch antenna directivity gain improvement is shown. In order to obtain the focus in the Ku band, a SRR metamaterial lens with a negative refractive index in the same band is designed and placed in the half-wavelength distance of the reference antenna in the radial direction, and the simulation and measurement results are obtained separately. Thus, a 1.52 dBi increase in the directivity gain of the reference antenna is shown according to measurement results. In this study, the same dielectric materials are used for the substrate and superstrate, so that the beneficial effect of the lens layer on the directivity gain improvement is shown more clearly. Moreover, for the low antenna profile, the total size of the MM lens layer is almost the same as the patch size of the reference antenna. Another advantage of this study over other similar studies in the literature is the use of a lens layer consisting of a smaller number of metamaterial unit cells.

**Keywords:** Metamaterial, SRR, Microstrip antenna, Antenna directivity gain

<sup>1</sup> Bilal TÜTÜNCÜ (**Orcid ID:** 0000-0002-7439-268X), İstanbul İl Sağlık Müdürlüğü, İstanbul, Türkiye

<sup>2</sup> Bülent URUL (**Orcid ID:** 0000-0003-2656-2450), Süleyman Demirel Üniversitesi, Teknik Bilimler MYO, Elektronik ve Otomasyon Bölümü, Isparta, Türkiye

\*Sorumlu yazar/Corresponding Author: Bilal TÜTÜNCÜ, e-mail: bilal1334@gmail.com

\* Bu çalışma Bilal TÜTÜNCÜ'nün Doktora tezinin bir bölümündür.

Geliş tarihi / Received: 10.09.2018  
Kabul tarihi / Accepted: 08.02.2019

## GİRİŞ

İlk olarak eşzamanlı negatif  $\epsilon$  ve negatif  $\mu$ 'nın bir malzemede bulunma olasılığı Rus bilim adamı Vesalago tarafından teorik olarak 1967'de ortaya atılmıştır (Veselago, 1968). Fakat bu fikir gizli bir define gibi yaklaşık kırk yıl sadece bir hayal olarak kalmıştır. 90'lı yıllarda Pendry ve arkadaşları tarafından negatif dielektrik geçirgenliğin ince metal tellerle (Pendry ve ark., 1996), negatif manyetik geçirgenliğin ise Bölünmüş Halka Rezonatör (BHR-SRR) adı verilen bir yapı ile suni olarak mümkün olduğu gösterilmiştir (Pendry ve ark., 1999).

2000 yılında D. R. Smith, Pendry'nin yaptığı çalışmalardan esinlenerek, daha önce Pendry tarafından gerçeklenmiş olan ince metaller ve dairesel halka rezonatörler ile elde ettiği yapıları tek boyutlu birleştirmiştir. Smith bu çalışmada çembersel halka rezonatörlerinin önüne ince metaller yerleştirmiş ve daha sonra bu yapıyı boyutlandırarak eş zamanlı bir şekilde belirli frekans aralıklarında negatif dielektrik sabiti ve negatif manyetik geçirgenliğin sağlanabileceğini söylemiştir (Smith, 2000). Shelby ve arkadaşları 2001 yılında, iki boyutlu olarak metamateryal (MM) yapısını ortaya çıkarmıştır ve negatif  $-\epsilon$  ve negatif  $-\mu$  olayını yani negatif kırılmayı deneyel olarak ta kanıtlamıştır (Shelby, 2001). Daha sonraki yıllarda MM'lerin bu sıra dışı özelliklerinden faydalananlarak birçok alanda kullanılmaya başlanmıştır. MM'lerin geometrik olarak ölçeklendirilebilir olması geniş bir çalışma frekans aralığı da sunmaktadır, bundan dolayı çok geniş bir alanda çok farklı boyutlardaki yapılarla çalışmalar süregelmiştir (Bilal ve ark., 2018; Cui, 2010).

Bu çalışmada MM'lerin odaklıma özelliğinin Mikroşerit Yama Antenin (MYA) yönlendirici kazancını artımadaki etkisini inceledik. Bilindiği üzere elektromanyetik dalgalar yayılarak ilerlemekte ve bu olay dalganın alınmasında kazanç kaybına yol

açmaktadır. Elektromanyetik dalga yayılarak ilerlemek yerine, odaklanarak ilettilirse dalganın yönlük noktasında artış sağlanacak ve dolayısıyla bu şekilde kazanç yönlüğe bağlı olarak artacaktır. Bu çalışmada ise Ku bant (12GHz) için tasarladığımız referans MYA'nın yönlendirici kazancını artırmak için yine Ku bantta MM karakteristiği gösterecek şekilde ayarlanan birim hücre BHR MM yapısı periyodik bir düz katman haline dönüştürülerek kullanıldı. Bu çalışmada daha önceki çalışmamızda (Bilal ve ark., 2018) ek olarak BHR lens katmanın iki kat olarak kullanımının etkisi, birim hücrelerin lens katmanı üzerindeki dağılım kombinasyounun ayarlanması, lens katmanın referans MYA'e optimum uzaklığının tesbiti ve BHR lens katmanın farklı açılarla kullanımının benzetim ve ölçüm sonuçları ayrı ayrı gösterilmiştir.

Benzetim ve modellemeler CST programında, fabrikasyon ve ölçümler ise yıldız teknik üniversitesi RF ve Mikrodalga laboratuvarında gerçekleştirildi. Referans anten yönlendirici kazancında ölçüm sonuçlarına göre 1.52 dB'lik bir artış gözlandı ve ayrıca Yarı Huzme Bant Genişliğinde (YHBG) ise 21° derecelik bir daralma tespit edildi.

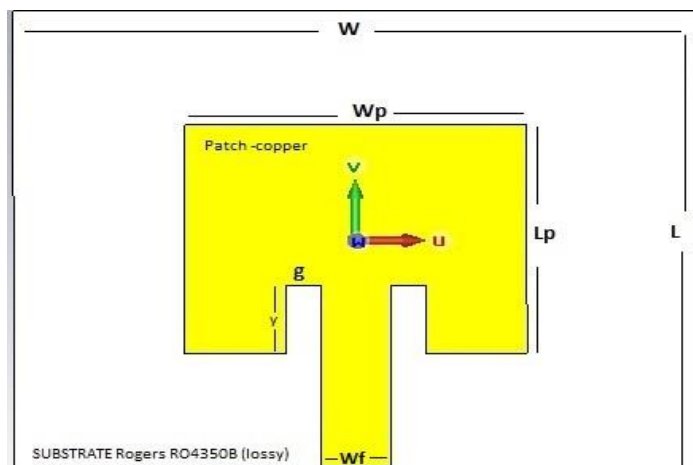
## MATERIAL VE YÖNTEM

### Ku Band Referans MYA Tasarım ve Ölçümleri

MYA'ların rezonsans frekanslarının ayarlanması için literatürde sunulan birçok çalışma ve algoritma vardır. Biz bu çalışmada klasik formülleri tercih ederek (Balanis, 2011) CST'de birkaç deney ile sonuca ulaştık. Dielektrik altaş olarak, Rogers RO4350B ([www.rogerscorp.com](http://www.rogerscorp.com)) tercih edildi. Bağlı dielektrik sabiti  $\epsilon_r=3.48$ , kayıp tanjantı ( $\tan\delta$ ) =0.0037 ve kalınlığı  $h=0.762$  mm'dir. Altaş kalınlığı  $h=0.762$  mm ve rezonsans frekansı  $f_r=12$  GHz için; yama genişliği  $W_p=8.35$  mm ve yama uzunluğu  $L_p=6.38$  mm olarak hesaplandı. Altaş dielektrik tabakanın genişliği  $W=2.W_p$  ve

uzunluğu  $L=2L_p$  olarak alındı. Besleme hattı genişliği "wf" ise giriş empedans değerini yaklaşık olarak  $50 \Omega$ 'a ayarlamak için CST programının "makrolar" menüsündeki "empedansı hesapla" özelliği ile 1.7 mm olarak hesaplandı. MYA empedans eşleştirmesi için iki paralel yarık metodu kullanıldı ve bu yarık

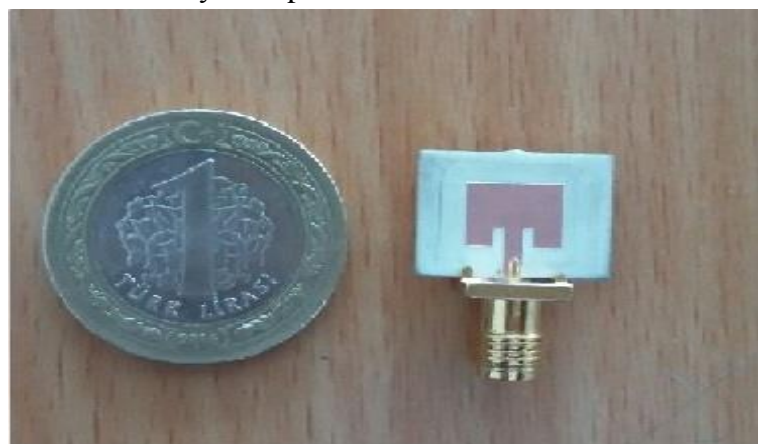
uzunluğu  $y= 1.91$  mm olarak hesaplandı ve paralel yarık boşluğu  $g$  ise,  $wf$ 'nin yarısı olarak alındı ( $g = wf / 2 = 0.85$  mm) (Balanis, 2011). Referans MYA anten şekli Şekil 1'de gösterilmektedir. Referans MYA'yı uyarmak için besleme hattının hemen altına yerleştirilen bir dalga kılavuzu portu kullanılmıştır.



**Şekil 1.** Referans MYA modeli

CST'de modellemesi yapılan ve iletim bandı Ku bant için ayarlanan MYA elde edilen ölçülerde baskı devre teknigi kullanılarak Yıldız Teknik Üniversitesi Elektronik ve Haberleşme Bölümü RF ve Mikrodalga Laboratuvarında üretildi (Şekil 2). Baskı devre makinası olarak LPKF ProtoMat S103 kullanıldı. Uyarım portu

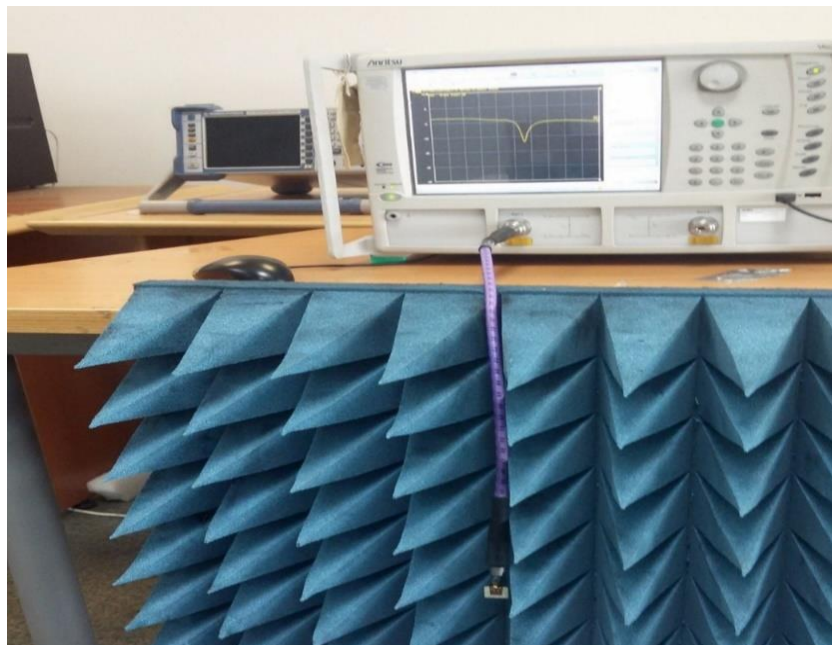
olarak SMA (SubMiniature version A) konnektör kullanıldı. SMA konektörler, yarı hassas eş eksenli RF konektörleridir ve vidalı kuplaj mekanizmasına sahip eş-eksenli kablo için minimal bir konektör arabirimini olarak geliştirilmiştir.



**Şekil 2.** MYA prototipi (Bilal ve ark.,2018)

Laboratuvar ölçümleri ise RF ve Mikrodalga Laboratuvarında iki eş horn anten (A-INFO LB-8180- NF) ve 10 MHz ile 40 GHz arası ölçüm yapabilen Anritsu MS4644Avektör

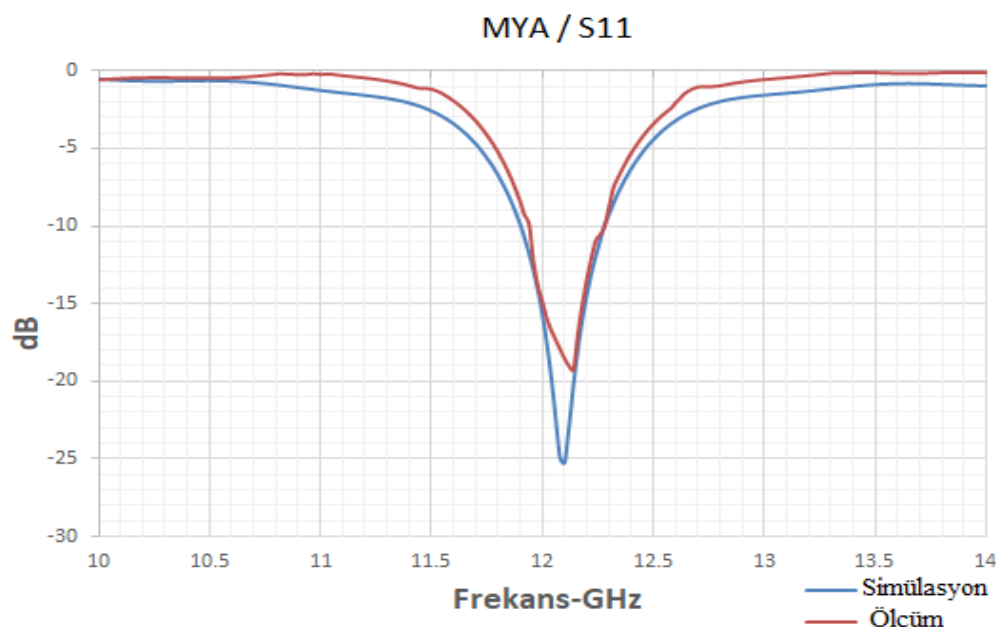
network analizör kullanılarak gerçekleştirildi. S11 için ölçüm düzenegi Şekil 3'de görülmektedir.



**Şekil 3.** MYA için ölçüm düzeneği

S<sub>11</sub> geri dönüş kaybı eğrisi Şekil 4'te gösterildiği gibi benzetim ve ölçüm değerleri ayrı ayrı elde edilerek çizdirildi. Ölçüm

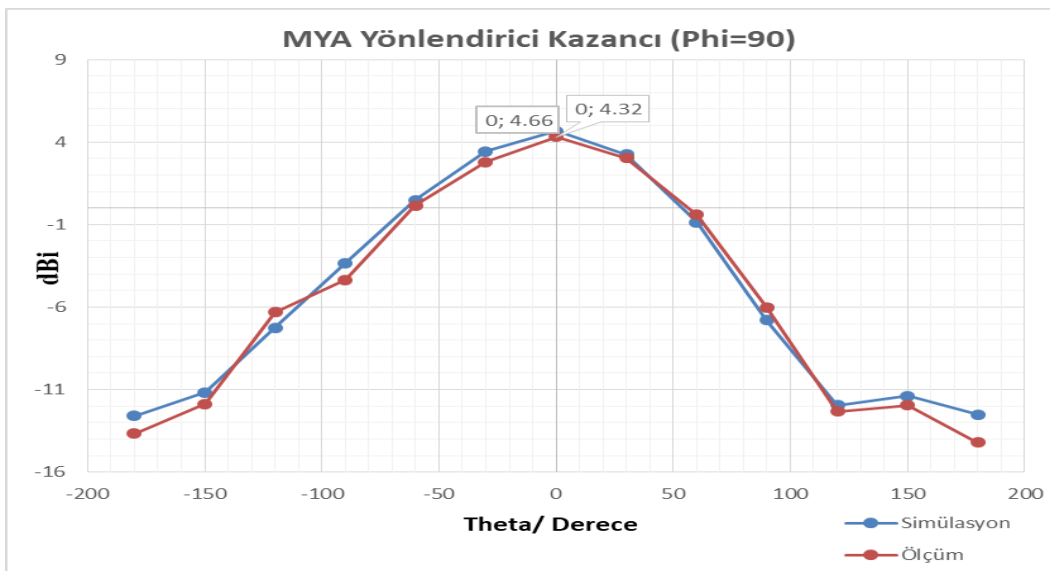
sonuçları benzetim sonuçlarından biraz farklıdır. Bu farkın ortam kaybı ve imalat hatalarına bağlı olduğu tahmin edilmektedir.



**Şekil 4.** Referans MYA S<sub>11</sub> eğrisi

Daha sonra MYA'nın 12 GHz'de uzak alan yönlendirici kazanç örüntüsü benzetim ve ölçüm

olarak ayrı ayrı elde edilip ortak bir grafikte Şekil 5.'te görüldüğü gibi çizdirildi.

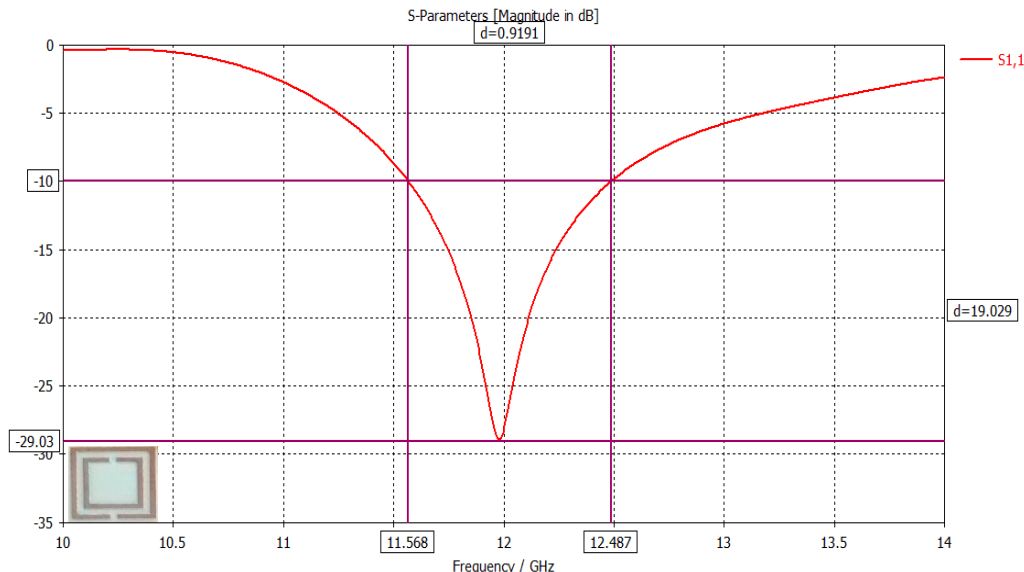
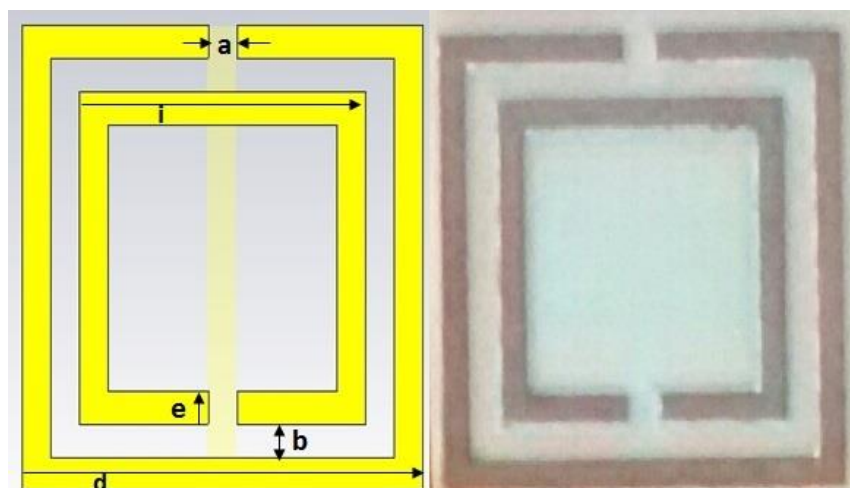


Şekil 5. Referans MYA nin uzak alan yönlendirici kazanç örüntüsü (12 GHz)

### Ku Band Birim Hücre BHR Tasarım ve Optimizasyonu

Bölünmüş Halka Rezonatör (BHR) yapıları güçlü manyetik rezonatörlerdir ve uyarılan elektromanyetik dalganın belirli bant genişliklerinde hem elektriksel hem de manyetik tepki verirler (Seetharaman ve ark., 2017). Bu yapının ön yüzünde, negatif  $\mu$  elde etmek için birbirine simetrik boşluklar olan iki adet iç içe geçmiş kare halka vardır ve arka tarafta ise negatif  $\epsilon$  elde etmek için bir bakır şerit bulunur. Bu yapıların manyetik rezonans karakteristikleri çok dar bantta geçerlidir ve ancak uygun polarizasyon ile uyarıldıklarında gelen dalganın manyetik bileşenine cevap vermektedirler. Ayrıca, periyodik olarak düzenlenmiş BHR dizisinin, BHR birim hücre yapısının manyetik rezonans frekansına ( $w_m$ ) yakın frekanslar için negatif manyetik geçirgenliği ( $-\mu$ ) sergilediği gösterilmiştir. BHR'lerin manyetik ve elektriksel rezonanslarını inceleyen literatürde çeşitli analitik modeller bulunmaktadır. Tek bir BHR'yi bir L-C devresi sistemi olarak modellemek mümkündür. BHR sisteminin toplam kapasitansı esasen iki temel unsurdan kaynaklıdır; biri, yarıklar ve diğer konsantrik halkalar arasındaki boşluklar. Endüktans ise iletken halkalar ve iç ve dış halkalar arasındaki boşluktan kaynaklanır

Bu çalışmada lens olarak kullanılacak BHR yapının fabrikasyonundan önce istenilen frekans bandında MM karakteristiğine ölçeklendirilmesi önem arz etmektedir. Çünkü MM'lerin ortam parametreleri frekansa göre değiştiğinden hangi frekans aralığında MM özellik gösterdiğinin tespiti için birçok deneme gereklidir ve bu denemelerin yapının fiziksel baskısı yapılarak gerçekleştirilmesi çok zor ve maliyetli olacaktır bunun bir benzetim ve modelleme programı ile önceden yapılması gereklidir. Modelleme, ölçeklendirme ve benzetim CST programı ile yapıldı. Benzetimin kurulumu, Z-ekseninde yayılım yapan bir dalga kılavuzu ortamında yerleştirilen materyale benzer şekildedir. Programın sınır koşulları ayarları X-ekseni boyunca mükemmel elektrik iletken (PEC) sınırı ve Y-ekseni boyunca mükemmel manyetik iletken (PMC) sınırı olacak şekilde ayarlandı. Bu sınır şartları nedeniyle malzemeye TEM dalgası uyarılmış oldu. Daha sonra BHR birim hücrenin  $S_{11}$  grafiği çizdirildi. Şekil 6'da görüldüğü gibi iletim bandı 11.568 MHz ile 12.487 GHz arasındadır. BHR birim hücrenin şekli ve prototipi ise Şekil 7'de görülmektedir. Burada  $a=0.4$  mm,  $b=0.3$  mm,  $d=5.4$  mm,  $e=0.4$  mm ve  $i=4$  mm'dir. Yapının sırt tarafındaki iletken şeridin uzunluğu 5.6 mm ve genişliği ise 0.4 mm olarak alındı.

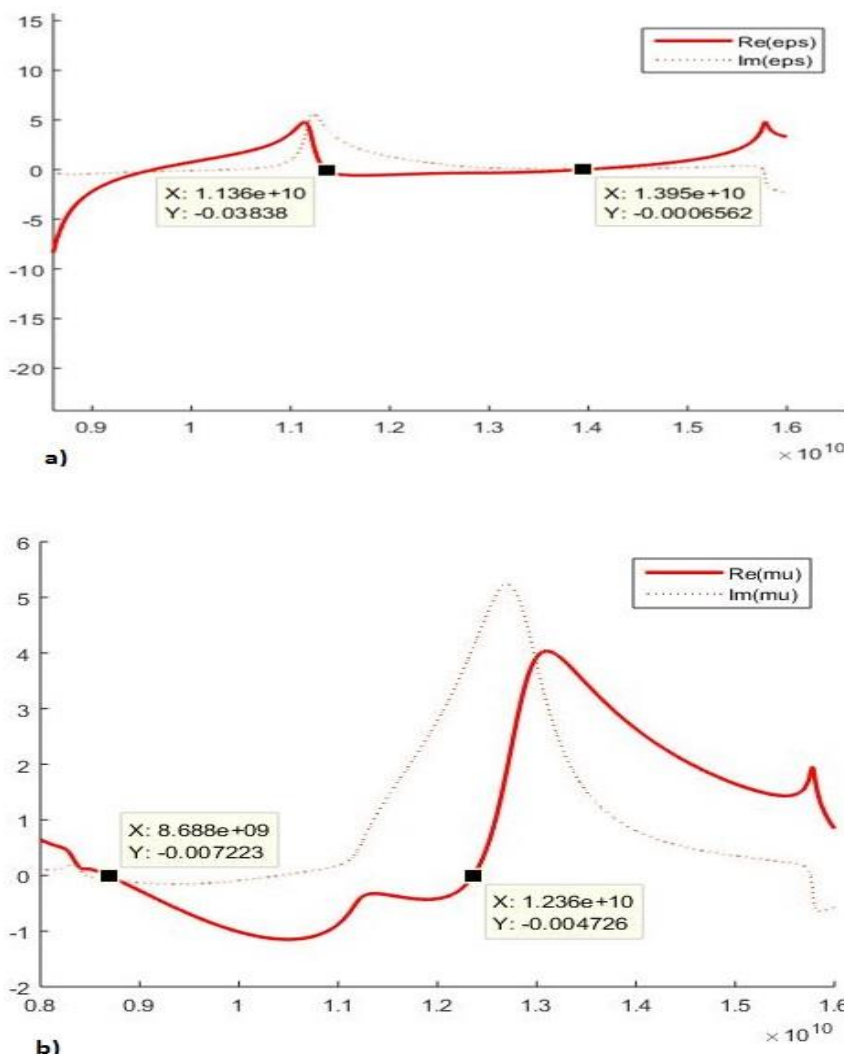
Şekil 6. BHR yapının S<sub>11</sub> grafiği

Şekil 7. BHR birim hücrenin şekli ve prototipi (Bilal ve ark., 2018)

### Birim Hücrenin Ortam Parametrelerinin Elde Edilmesi

Ortam parametrelerini ( $\epsilon$  ve  $\mu$ ) hesaplamada bugüne kadar bilinen yöntemler, bir MM birim hücre katmanına uygulanan dalganın “s” saçılma parametrelerinden hesaplanan kırılma indisini “n” ve ortam empedansı “z”’i kullanır. Saçılma parametrelerinden ortam parametrelerini ( $\epsilon$  ve  $\mu$ ) elde etmek için Nicholson-Ross-Weir (NRW) (Shi ve ark., 2016) ve Robust Metodu (Shi ve

ark., 2016) gibi birkaç farklı yöntem vardır. Bu çalışmada daha hızlı olmasa da daha güvenilir olmasından dolayı Robust Metodunu tercih ettik (Tütüncü ve Torpi, 2017) ve bu metotta verilen formüller vasıtasyyla sonuçları MATLAB’da çizdirdik. Şekil 8’de BHR birim hücrenin ortam parametreleri ayrı ayrı verildi. Görüldüğü gibi 12 GHz’de hem  $\epsilon$  ve hem de  $\mu$  negatiftir dolayısıyla bu frekansta MM karakteristiği gösterdiği görülmektedir.



Şekil 8. BHR yapının a)  $\epsilon$ , b) $\mu$  grafiği

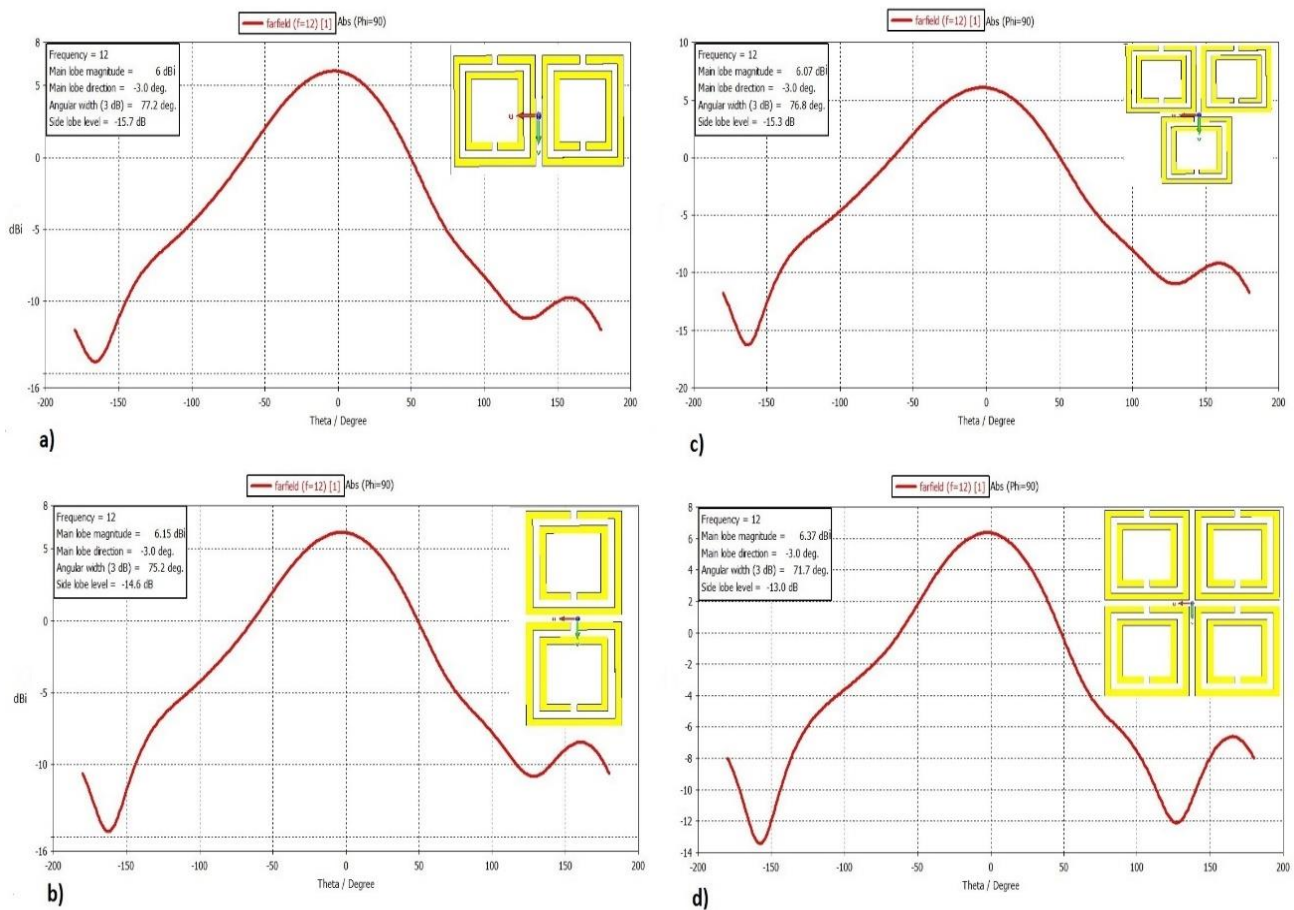
## BULGULAR VE TARTIŞMA

### BHR Yapının Lens Katmanı Olarak Tasarım ve Kullanımı

BHR’ü periyodik yapıya dönüştürken kullanacağımız lens katman boyutunun MYA’nın zemin plaka boyutu ile yama boyutları arasında kalmasına dikkat edildi ve böylelikle birim hücre sayısını belirli sınırlarda tuttuk. Bu koşullarda birim hücre sayısı için ihtimaller 2,3 ve 4’dür. Bununla beraber MM’lerin lens katmanı üzerinde dağılım kombinasyonu da ayrı bir etkendir. Tüm bu olası durumlar BHR yapıda denenip en optimum sonuç elde edildi. Referans MYA ile lens katmanı arası mesafe yarınl dalga boyu  $\lambda_0/2 = 12.5$  mm alındı birim hücre sayısını ve dağılımı 4 farklı durum için tek katman

kullanılarak CST’de analiz edildi ve sonuçlar Şekil 9 ve Çizelge 1’de verildi. En uygun sonuç 4 adet birim hücrenin 2x2 şeklinde dağılımıyla elde edildiği görülmektedir. Ayrıca yönlüğün artığına bir kanıt yarı huzme bant genişliğinin (YHBG) daralmasıdır. Çizelge 1’de de görüldüğü gibi en dar YHBG  $71.7^\circ$  açı ile yine 2x2 dağılımındadır.

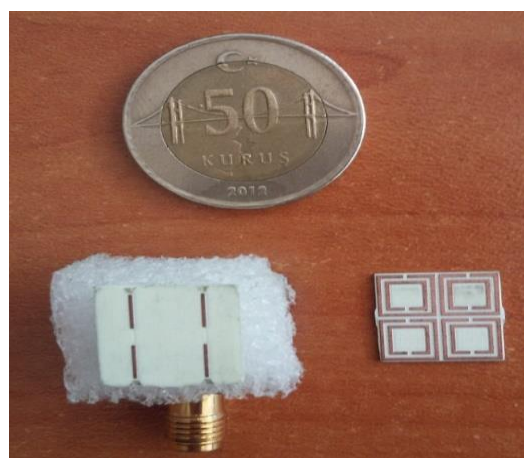
Bu sonuçlardan yola çıkarak tasarladığımız Ku band referans MYA için lens katmanında en uygun birim hücre MM dağılıminin 2x2 olduğu görüldü. Dolayısıyla kullanacağımız 5 farklı MM lens katmanlarının üretimi de bu dağılıma göre yapıldı. Üretimler baskı devre teknigi kullanılarak gerçekleştirildi (Şekil 10) ve baskı devre makinası olarak LPKF ProtoMat S103 kullanıldı.



**Şekil 9.** BHR birim hücre dağılımına göre MYA ışima örüntüleri

**Çizelge 1.** BHR birim hücre dağılımının MYA yönlendirici kazancına etkisi

BHR dağılımı	MYA Yönlendirici kazancı	Ana Lob Açı	YHBG
1x1 X- düzlemi	6 dBi	-3°	77.2°
1x1 Y- düzlemi	6.15 dBi	-3°	75.2°
2x1	6.07 dBi	-3°	76.8°
2x2	6.37 dBi	-3°	71.7°



**Şekil 10.** BHR lens katmanın önden ve arkadan görünümü

### Lens Katmanının Referans MYA ya Optimum Uzaklığının Tespiti

Kullanılacak BHR lens katmanının referans antene uzaklığı çeyrek dalga boyu  $\lambda_0/4=6.25$  mm, yarımla dalga boyu  $\lambda_0/2=12.5$  mm, tam dalga boyu  $\lambda_0=25$  mm ve 1.5 dalga

boyu  $1.5*\lambda_0=37.5$  mm olmak üzere dört farklı durum için analiz edildi ve benzetim sonuçları Çizelge 2'de karşılaştırılmış olarak verildi. Yönlendirici kazancının iyileştirilmesinde en optimum sonucun yarımla dalga boyu ( $\lambda_0/2=12.5$  mm) mesafede olduğu görülmektedir.

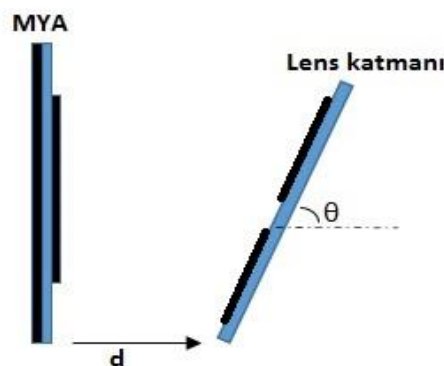
**Çizelge 2.** BHR Lens katmanının MYA ya uzaklığının etkisi

Uzaklık	MYA Yönlendirici kazancı	Ana Huzme Açı	YHBG
$\lambda_0/4$	5.66 dBi	-6°	70.1°
$\lambda_0/2$	6.37 dBi	-3°	71.7°
$\lambda_0$	5.94 dBi	-2°	64.3°
$1.5*\lambda_0$	5.92 dBi	-2°	61.9°

### BHR Lens Katmanının Farklı Açılarla Kullanımı

Şekil 11'de gözüken ölçüm düzeneğinde  $d=\lambda_0/2=12.5$  mm'de sabit tutularak lens katmanının merkez noktasının gelen dalga ile

yatayda yaptığı 4 farklı açı ( $\theta$ ) için 12 GHz'de ışma örüntüleri elde edildi ve Çizelge 3'de görüldüğü gibi en optimum değer yine 6.36 dBi ile  $\theta=90^\circ$  olduğu görüldü. Ayrıca YHBG için en uygun değer  $71.7^\circ$  ile yine  $\theta=90^\circ$ 'dedir.



**Şekil 11.** BHR lens katmanının açıya göre ölçüm düzeneği

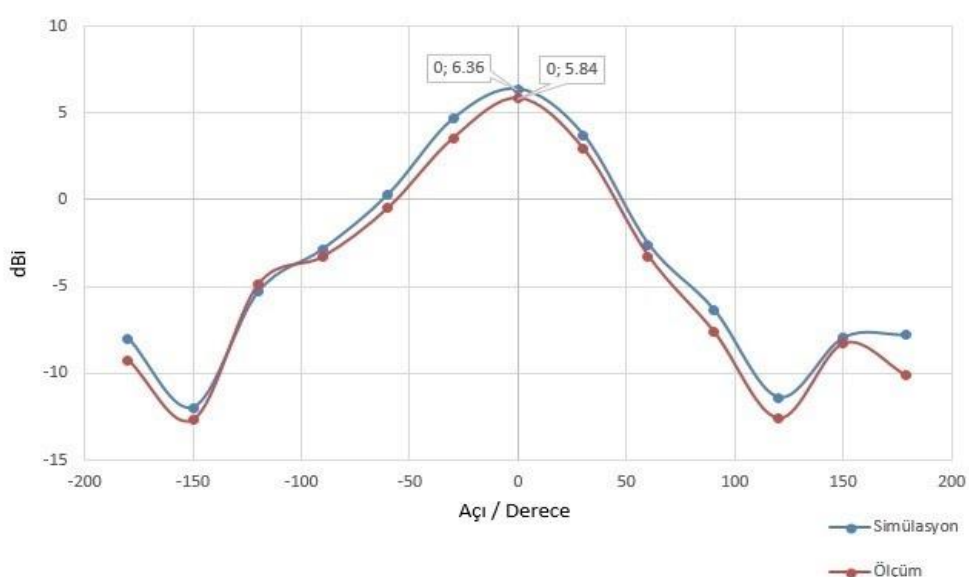
**Çizelge 3.** MYA+BHR lens katmanının gelen dalga ile yaptığı 4 farklı açı için sonuçlar

d-uzaklık	Yatay düzlemede yaptığı açı- $\theta$	MYA+BHR Yönlendirici kazancı tepe değeri	YHBG
$\lambda_0/2=12.5$ mm	0°	4.96 dBi	87.1°
$\lambda_0/2=12.5$ mm	30°	5.55 dBi	82.8°
$\lambda_0/2=12.5$ mm	60°	5.97 dBi	77.4°
$\lambda_0/2=12.5$ mm	90°	6.36 dBi	71.7°

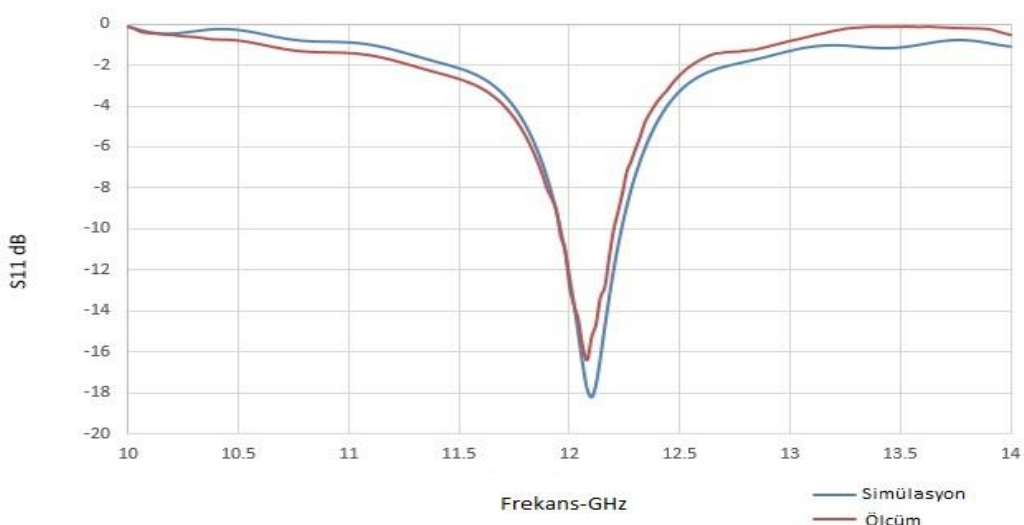
## Optimum Değerler İçin BHR Lens Katmanı Benzetim ve Ölçümleri

CST programında benzetimler ile elde edilen bu optimum değerler baz alınarak laboratuvar ortamında ölçümler yapıldı. Ölçüm için iki eş horn anten (A-INFO LB-8180- NF) ve 10 MHz ile 40 GHz arası ölçüm yapabilen Anritsu MS4644A vektör network analizör kullanıldı. 12 GHz'de yönlendirici kazanç ışırma örüntüsü Şekil 12'de görüldüğü gibi benzetim ve ölçüm sonuçlarına göre çizdirildi ve Şekil 13'de ise  $S_{11}$  eğrisi verildi. Çizelge 4'de ise BHR lens

katmanı kullanılarak elde edilen sonuçlar ile daha önce lens katmanı kullanmadan MYA ile elde edilen sonuçlar karşılaştırılmış olarak verildi. Yönlendirici kazancında iyileşme görüldüğü gibi bant genişliğinde ise beklentiği gibi düşme olmuştur. Aynı zamanda YHBG deki daralma yönlendirici kazancındaki iyileşmenin de bir kanıtıdır. Ölçüm sonuçları benzetim sonuçlarından azda olsa biraz farklıdır. Bu farkın ortam kaybı ve imalat hatalarına bağlı olduğu tahmin edilmektedir.



**Şekil 12.** MYA+ BHR lens katmanının  $\lambda_0/2=12.5$  mm ve  $\theta=90^\circ$  için 12 GHz'de ışırma örüntüleri



**Şekil 13.** MYA+ BHR lens katmanının  $S_{11}$  eğrisi

**Çizelge 4.** MYA'nın yönlendirici kazancı, YHBG ve bant genişliğindeki değişim

	İsim	Yönlendirici Kazancı (dBi)	Bant Genişliği MHz	YHBG
MYA	Benzetim	4.66	340	93 °
	Ölçüm	4.32	320	
MYA+BHR	Benzetim	6.36	260	72 °
	ölçüm	5.84	240	
Değişim	Benzetim	+1.7 dB	-80	-21
	Ölçüm	+1.52 dB	-80	

**İki Kat BHR Lens Katmanı Kullanımı**

Bu bölümde, referans antene en optimum uzaklık yarımdalga boyu  $\lambda_0/2=12.5$  mm ve en uygun birim hücre dağılımı ise 2x2 olarak tespit edilen lens katmanın iki kat olarak kullanmanın etkisini inceledik. İkinci lens katmanı, birinci katmana sırasıyla;  $\lambda_0/4=6.25$  mm,  $\lambda_0/2=12.5$  mm,  $\lambda_0=25$  mm uzaklığa yerleştirilip üç ayrı durum için ölçüm ve benzetim sonuçları elde edildi. Çizelge 5'de

**Çizelge 5.** İki katman BHR lens kullanım sonuçları

$d_1$ MYA ile ilk lens katmanı arası uzaklık	$d_2$ İki lens katmanı arası uzaklık	MYA+2 tane BHR lens	
		Yönlendirici kazancı tepe değeri Benzetim	Ölçüm
$\lambda_0/2=12.5$ mm	$\lambda_0=25$ mm	6.85 dBi	6.32 dBi
$\lambda_0/2=12.5$ mm	$\lambda_0/2=12.5$ mm	6.64 dBi	6.08 dBi
$\lambda_0/2=12.5$ mm	$\lambda_0/4=\sim 6$ mm	7.68 dBi	7.42 dBi

**SONUÇ**

Bu çalışmanın amacı, metamateryal olgusunu, mikrodalga frekanslarındaki mikroşerit anten uygulamaları ile anlamaktır. Nümerik yöntemler kullanılarak BHR MM'in 12 GHz'de negatif manyetik geçirgenlik ve negatif dielektrik sabitinin doğrulanması gerçekleştirildi. Bu her iki parametrenin aynı frekansta negatif olmasıyla gerçekleşen odaklılama olayı aynı rezonans frekansındaki mikroşerit antenin yönlendirici kazancını artırarak doğrulandı. Bunun için ilk olarak bir Ku band MYA tasarlanıp aynı bantta MM karakteristiği gösterecek şekilde bir BHR birim hücre yapısı modellendi. MM yapı CST Studio'da tasarlanıp

yönlendirici kazançlarının tepe değerleri karşılaştırımlı olarak verildi ve görüldüğü gibi ikinci katmanın birinci katmana en uygun mesafesi çeyrek dalga boyundadır ( $\lambda_0/4=6$  mm). MYA'nın yönlendirici kazancı iki veya daha fazla lens tabakası kullanarak daha da artırılabileceği görülmektedir, ancak bu durumda anten sisteminin boyutu artacağından bu durum istenmemektedir.

parametre tarayıcı kullanılarak Ku band için en ideal birim hücre yapı elde edilmeye çalışıldı ve  $S_{11}$  eğrisi çizdirildi. Daha sonra bu BHR birim hücre periyodik yapıya dönüştürüldü ve kullanacağımız lens katman boyutunun MYA'nın zemin plaka boyutu ile yama boyutları arasında kalmasına dikkat edildi ve böylelikle birim hücre sayısı belirli sınırlarda tutuldu. Ayrıca referans antene olan uzaklık ve gelen dalganın lens katmanı ile yaptığı açıda bu şekilde BHR yapı için denenip elde edilen sonuçlar tablo halinde verildi. Ölçüm sonuçlarına göre en yüksek kazanç artımı (+3.1 dB) referans antene yarımdalga boyu uzaklıktı iki kat BHR lens katmanı kullanarak gözlemlenmiştir.

## KAYNAKLAR

- Balanis CA, 2011. Modern Antenna Handbook, John Wiley & Sons publication, Newyork-A.B.D.
- Cui TJ, 2010. Metamaterials, Springer, Boston-A.B.D.
- Pendry JB, Holden AJ, Robbins D J, 1996. Extremely low frequency plasmons in metallic mesostructures. *Physical Review Letters*, 76 (25): 4773-4776.
- Pendry JB, Holden AJ, Robbins DJ, 1999. Magnetism from conductors and enhanced nonlinear phenomena. *IEEE Transactions on Microwave Theory and Techniques*, 47(11): 2075-2084.
- Seetharaman S, King G, Hooper IR, Barnes WL, 2017. Electromagnetic interactions in a pair of coupled split-ring resonators. *Physical Review B*, 96 (8): 1-8.
- Shelby RA, 2001. Experimental verification of a negative index of refraction. *Science*, 292 (5514): 77-79.
- Shi Y, Hao T, Li L, Liang CH, 2016. An improved NRW method to extract electromagnetic parameters of metamaterials. *Microwave Optical Technology Letters*, 58 (3): 647-652.
- Shi Y, Li Z-Y, Li L, Liang C-H, 2016. An electromagnetic parameters extraction method for metamaterials based on phase unwrapping technique. *Waves Random Complex Medium*, 26 (4): 417-433.
- Smith DR, 2000. Composite medium with simultaneously negative permeability and permittivity. *Physical Review Letters*, 84 (18): 4184-4187.
- Tütüncü B, Torpi H, Urul B, 2018. A comparative study on different types of metamaterials for enhancement of microstrip patch antenna directivity at the Ku-band (12 GHz). *Turkish Journal of Electrical Engineering and Computer Sciences*, 26 (3): 1171-1179.
- Tütüncü B, Torpi H, 2017. Omega-shaped metamaterial lens design for microstrip patch antenna performance optimization at 12 GHz. *10th International Conference on Electrical and Electronics Engineering (ELECO)*, 1-2 Aralık 2017, Bursa
- Veselago VG, 1968. The electrodynamics of substances with simultaneously negative values of  $\epsilon$  and  $\mu$ . *Soviet physics uspekhi*, 10 (4): 509-514.